

НАНОФИЗИКА И НАНОЭЛЕКТРОНИКА

XXIX СИМПОЗИУМ

10 – 14 марта 2025 года, Нижний Новгород

Тезисы докладов

Нижний Новгород
2025

НАНОФИЗИКА И НАНОЭЛЕКТРОНИКА. XXIX симпозиум (Нижний Новгород, 10–14 марта 2025 г.) : Тезисы докладов. — Нижний Новгород, 2025.

Организаторы

Министерство науки и высшего образования Российской Федерации
Отделение физических наук РАН
Научный совет РАН по физике полупроводников
Научный совет РАН по физике конденсированных сред
Институт физики микроструктур РАН
Нижегородский государственный университет им. Н. И. Лобачевского
Благотворительный фонд «От сердца к сердцу»

Программный комитет

А. В. Акимов, к.ф.-м.н.	РКЦ, ФИАН им. П. Н. Лебедева РАН, Москва
А. Ю. Аладышкин, д.ф.-м.н.	ИФМ РАН, Нижний Новгород
В. В. Бельков, д.ф.-м.н.	ФТИ им. А. Ф. Иоффе РАН, Санкт-Петербург
И. С. Бурмистров, д.ф.-м.н.	ИТФ им. Л. Д. Ландау РАН, Черноголовка
В. А. Бушуев, д.ф.-м.н.	МГУ им. М. В. Ломоносова, Москва
В. А. Быков, д.т.н.	NT-MDT Spectrum Instruments, Москва
В. А. Волков, д.ф.-м.н.	ИРЭ им. В. А. Котельникова РАН, Москва
В. И. Гавриленко, д.ф.-м.н.	ИФМ РАН, Нижний Новгород
С. В. Галонов , академик РАН	ИФМ РАН, Нижний Новгород
А. Б. Грановский, д.ф.-м.н.	МГУ им. М. В. Ломоносова, Москва
К. Н. Ельцов, д.ф.-м.н.	ИОФ им. А. М. Прохорова РАН, Москва
С. В. Зайцев-Зотов, д.ф.-м.н.	ИРЭ им. В. А. Котельникова РАН, Москва
С. В. Иванов, д.ф.-м.н.	ФТИ им. А. Ф. Иоффе РАН, Санкт-Петербург
Е. Л. Ивченко, академик РАН	ФТИ им. А. Ф. Иоффе РАН, Санкт-Петербург
В. В. Кведер, академик РАН	ИФТТ РАН, Черноголовка
З. Ф. Красильник, чл.-корр. РАН	ИФМ РАН, Нижний Новгород (председатель)
И. В. Кукушкин, академик РАН	ИФТТ РАН, Черноголовка
В. Д. Кулаковский, чл.-корр. РАН	ИФТТ РАН, Черноголовка
А. В. Латышев, академик РАН	ИФП им. А. В. Ржанова СО РАН, Новосибирск
А. С. Мельников, д.ф.-м.н.	ИФМ РАН, Нижний Новгород
М. А. Миляев, д.ф.-м.н.	ИФМ им. М. Н. Михеева УрО РАН, Екатеринбург
В. Л. Миронов, д.ф.-м.н.	ИФМ РАН, Нижний Новгород
С. В. Морозов, д.ф.-м.н.	ИФМ РАН, Нижний Новгород
С. А. Никитов, академик РАН	ИРЭ им. В. А. Котельникова РАН, Москва
А. В. Новиков, д.ф.-м.н.	ИФМ РАН, Нижний Новгород
Д. В. Рошупкин, д.ф.-м.н.	ИПТМ РАН, Черноголовка
В. В. Рязанов, д.ф.-м.н.	ИФТТ РАН, Черноголовка
А. В. Садовников, к.ф.-м.н.	СГУ им. Н. Г. Чернышевского, Саратов
М. В. Сапожников, д.ф.-м.н.	ИФМ РАН, Нижний Новгород
А. А. Саранин, чл.-корр. РАН	ИАПУ ДВО РАН, Владивосток
Д. А. Татарский, к.ф.-м.н.	ИФМ РАН, Нижний Новгород (учёный секретарь)
Ю. А. Филимонов, д.ф.-м.н.	Саратовский филиал ИРЭ РАН, Саратов
А. А. Фраерман, д.ф.-м.н.	ИФМ РАН, Нижний Новгород
Д. Р. Хохлов, чл.-корр. РАН	МГУ им. М. В. Ломоносова, Москва
А. В. Чаплик, академик РАН	ИФП им. А. В. Ржанова СО РАН, Новосибирск
Н. И. Чхало, д.ф.-м.н.	ИФМ РАН, Нижний Новгород
Т. В. Шубина, д.ф.-м.н.	ФТИ им. А. Ф. Иоффе РАН, Санкт-Петербург

Организационный комитет

А. В. Новиков	ИФМ РАН, Нижний Новгород (председатель)
Т. Е. Бахтина	ИФМ РАН, Нижний Новгород
М. В. Зорина	ИФМ РАН, Нижний Новгород
А. В. Иконников	МГУ им. М. В. Ломоносова, Москва
Д. А. Камелин	ИФМ РАН, Нижний Новгород
Р. С. Малофеев	ИФМ РАН, Нижний Новгород
М. С. Михайленко	ИФМ РАН, Нижний Новгород
С. В. Морозов	ИФМ РАН, Нижний Новгород
Е. Н. Садова	ИФМ РАН, Нижний Новгород
С. С. Уставщиков	ИФМ РАН, Нижний Новгород

СЕКЦИЯ 3

Полупроводниковые nanoструктуры: электронные, оптические свойства, методы формирования

Окна прозрачности ИК-диапазона в нанокомпозитных пленках PbS-CdS и PbS-ZnS

Ю. А. Белых*, Р. М. Закирова, И. В. Федотова, Л. А. Сабанова, П. Н. Крылов

Удмуртский государственный университет, ул. Университетская, 1, Ижевск, 426034
*belykh.yu@mail.ru

Сульфид свинца широко применяется для изготовления устройств в ближней и средней ИК-области спектра. Преимуществом использования PbS в качестве ИК-фотодетекторов является более простая технология нанесения тонких поликристаллических пленок по сравнению с технологией получения ИК-приборов на основе кремния, германия и других полупроводниковых материалов [1]. Наноструктурирование сульфида свинца посредством варьирования размеров кристаллитов позволяет управлять его энергетическим спектром. Интерес представляет создание ИК-датчиков, действующих в области среднего ИК – окнах прозрачности атмосферы 3–5 мкм [2]. Это возможно путем создания гетерофазных полупроводниковых материалов, состоящих из широкозонных матриц и узкозонных включений сульфида свинца, что обеспечивает также увеличение радиационной стойкости таких структур [3].

В настоящей работе для получения нанокомпозитных пленок PbS-CdS и PbS-ZnS использовался метод высокочастотного магнетронного напыления. Подложки поочередно проходили определенное число раз (сканы) над магнетронами с мишениями из PbS, CdS, ZnS. Изменяя соотношение числа сканов, варьировались толщины напыляемых слоев сульфидов, и тем самым менялись типы нанокомпозитных пленок (гетероструктуры, нанокомпозиты, квантовые точки) и процентное соотношение самих сульфидов. Количество слоев сульфидов выбиралось таким, чтобы суммарная толщина полученных пленок составила 4500 Å.

Полученные нанокомпозитные пленки имели разные толщины слоев сульфидов свинца (5 и 8,75 Å) и сульфидов цинка (7,5, 15, 30, 60 Å)/кадмия (12, 24, 36, 72 Å) с разным количеством слоев (от 58 до 277):

- нанокомпозиты $\{PbS_5CdS_{12}\}_{265}$, $\{PbS_{8.75}ZnS_{7.5}\}_{277}$, $\{PbS_{8.75}ZnS_{15}\}_{189}$,
- квантовые точки $\{PbS_5CdS_{24}\}_{155}$, $\{PbS_5CdS_{36}\}_{110}$, $\{PbS_5CdS_{72}\}_{58}$, $\{PbS_{8.75}ZnS_{30}\}_{116}$, $\{PbS_{8.75}ZnS_{60}\}_{65}$.

Также были осаждены пленки CdS, ZnS, PbS.

ИК-спектры отражения и пропускания были получены на ИК-Фурье-спектрометре ФСМ-1201 в диапазоне 2200–5000 см⁻¹ (2–4,5 мкм). ИК-отражение измеряли в диапазоне от 400 до 5000 см⁻¹ (2–25 мкм).

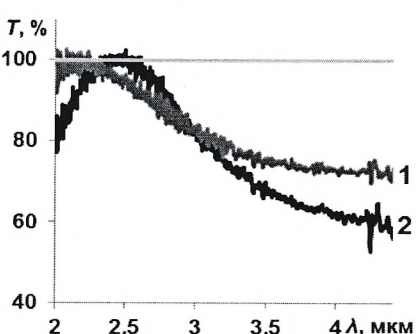


Рис. 1. Спектры пропускания PbS-CdS:
1 – $\{PbS_5CdS_{12}\}_{265}$, 2 – $\{PbS_5CdS_{72}\}_{58}$

напряженным состоянием системы пленка-подложка. С увеличением толщины слоев CdS и ZnS (увеличением концентрации CdS и ZnS) в системах PbS-CdS и PbS-ZnS смещение пика подложки уменьшается, т. е. в пленках уменьшается напряженное состояние.

На ИК-спектрах пропускания (рис. 1) нанокомпозитных пленок $\{PbS_5CdS_{12}\}_{265}$ при ~2,5 мкм наблюдается наличие области с пропусканием ~100% (так называемое окно прозрачности). По характеру спектра пропускания пленок PbS-CdS с квантовыми точками можно предположить, что окно прозрачности смещается в ближнюю ИК-область при увеличении толщины слоев CdS. В нанокомпозитных пленках PbS-ZnS окно прозрачности в средней ИК-области не наблюдается, но также можно предположить наличие окон прозрачности в ближней ИК-области.

1. И.А. Шуклов, В.Ф. Токнова, Д.В. Демкин, Г.И. Лапушкин, Л.М. Николенко, А.А. Лизунова, С.Б. Бричкин, В.Н. Василицев, В.Ф. Разумов // Химия высоких энергий. 2020. Т. 54, №3. С. 200–205.

2. Ю.И. Белоусов, Е.С. Постников. Инфракрасная фотоника. Часть I. Особенности формирования и распространения ИК-излучения: учебное пособие. Санкт-Петербург : Университет ИТМО, 2019. 82 с.

3. Н.А. Фростяная. Физико-химические закономерности получения твердых растворов в системе PbS-CdS путем ионобменной трансформации : дисс. к.х.н. Екатеринбург, 2015. 196 с.

<i>Дюзев Н. А., Чиненков М. Ю., Орешкин Г. И., Султан-Заде Т. Т., Демин Г. Д., Парамонов В. В.</i>	
Разработка сенсоров магнитного поля на основе магниторезистивного эффекта.....	229
<i>Шайхулов Т. А., Станкевич К. Л., Сизов В. Е., Лузанов В. А., Калябин Д. В., Никитов С. А.</i>	
Модификация микроструктуры и возникновение топологического эффекта Холла в легированных индием тонких пленках $\text{La}_{0.7}\text{Sr}_{0.3}\text{MnO}_3$, полученных методом параллельного магнетронного распыления	230
<i>Шешукова С. Е., Бегинин Е. Н., Пташенко А. С., Садовников А. В.</i>	
Эффекты пространственного разделения пучка спиновых волн в многослойных структурах на основе пленок ЖИГ	231
<i>Шипко М. Н., Степович М. А., Хлюстова А. В., Агафонов А. В., Сироткин Н. А., Савченко Е. С.</i>	
Исследования кристаллической структуры, морфологии и магнитных свойств порошков нанокомпозитов на основе переходных металлов Ni, Cu, Fe, синтезированных в условиях подводной плазмы	232
<i>Столяр С. В., Шохрина А. О., Николаева Е. Д., Ли О. А., Воротынов А. М., Великанов Д. А., Исхаков Р. С.</i>	
Нагрев порошков SiO_2 в режиме ферромагнитного резонанса	233
<i>Эндеррова Т. Н., Гимазов И. И., Сахин В. О., Таланов Ю. И., Куковицкий Е. Ф.</i>	
Особенности транспортных свойств анизотропных кристаллов $\text{Bi}_{1.06}\text{Sn}_{0.04}\text{Sb}_{0.9}\text{Te}_2\text{S}$	234

Секция 3

ПОЛУПРОВОДНИКОВЫЕ НАНОСТРУКТУРЫ: ЭЛЕКТРОННЫЕ, ОПТИЧЕСКИЕ СВОЙСТВА, МЕТОДЫ ФОРМИРОВАНИЯ

<i>Абрамкин Д. С.</i>	Транзисторные AlN/AlGaN гетероструктуры с GaN/AlN квантовыми точками для создания универсальной памяти.....	237
<i>Алексеев П. А., Елисеев И. А., Шаров В. А., Давыдов В. Ю.</i>	Структура и влияние поверхности в полупроводниках $\text{A}^{\text{III}}\text{-As}$ и $\text{A}^{\text{III}}\text{-Sb}$ со слоем естественного оксида на электронные и оптические свойства полупроводниковых приборов	238
<i>Алешикин В. Я., Рудаков А. О., Морозов С. В.</i>	Генерация плазмон-фононов в легированных структурах CdHgTe/HgTe с узкозонными квантовыми ямами.....	239
<i>Алисултанов З. З.</i>	Недиагональный беспорядок в многослойном топологическом изоляторе	240
<i>Андреев Б. А., Кудрявцев К. Е., Красильникова Л. В., Лобанов Д. Н., Калинников М. А., Новиков А. В.</i>	Влияние дислокаций на свойства спонтанной и стимулированной эмиссии гетероструктур с активным слоем InN	241
<i>Андреева С. А., Щепетильников А. В., Николаев Г. А., Хисамеева А. Р., Кукушкин И. В.</i>	Термодинамика псевдоспинового ферромагнитного фазового перехода на факторе заполнения 2	242
<i>Архипова Е. А., Дроздов М. Н., Краев С. А., Хрыкин О. И., Охапкин А. И., Демидов Е. В., Востоков Н. В., Лобаев М. А., Вихарев А. Л., Богданов С. А., Исаев В. А.</i>	Исследование проблемы подготовки поверхности алмаза для изготовления затвора полевых транзисторов.....	243
<i>Асхадуллин И. Н., Сгибнев Е. М., Докукин М. Е., Шезаев А. В., Барышев А. В.</i>	Влияние параметров осаждения и термического окисления металлического ванадия на формирование фаз VO_2 и V_2O_5	244
<i>Афоненко Ан. А., Афоненко А. А., Ушаков Д. В., Хабибуллин Р. А.</i>	Неоднородное уширение энергетических уровней при флуктуации концентрации легирования в квантово-каскадных лазерах	245
<i>Дрозд А. Н., Афоненко А. А.</i>	Дефазировка электронных состояний в квантово-каскадных структурах из-за шероховатости гетероинтерфейсов	246
<i>Багаев Т. А., Мартычев И. Е., Ладугин М. А., Мармагюк А. А., Данилов А. И., Ушаков Д. В., Афоненко А. А., Зайцев А. А., Маремьянин К. В., Морозов С. В., Гавриленко В. И., Галиев Р. Р., Павлов А. Ю., Пушкирев С. С., Пономарев Д. С., Хабибуллин Р. А.</i>	Короткопериодные сверхрешетки $\text{Al}_{0.15}\text{GaAs}_{0.85}/\text{GaAs}$ для квантово-каскадных лазеров терагерцевого диапазона, полученные в условиях МОС-гидридной эпитаксии	247
<i>Базакирев С. В., Махов И. С., Кириченко Д. В., Духан Д. Д., Черненко Н. Е., Шандыба Н. А., Еременко М. М., Надточий А. М., Крыжановская Н. В., Жуков А. Е., Солововник М. С.</i>	Оптимальное соотношение потоков As/Ga при низкотемпературном защелчивании квантовых точек InAs слоем GaAs с различной скоростью.....	248

<i>Базяников Д. М., Байдусь Н. В., Зубков С. Ю., Круглов А. В., Самарцев И. В.</i> Влияние Al, температуры роста и ориентации подложки на морфологию поверхности структур, содержащих метаморфный буферный слой на основе InGaAs	249
<i>Банников М. И., Селиванов Ю. Г., Мартовицкий В. П., Прудкогляд В. А., Кунцевич А. Ю.</i> Существенное повышение подвижности в кристаллах топологического изолятора Bi_2Se_3 при дипировании FeSe	250
<i>Барабаненков М. Ю., Сапегин А. А., Крылов А. А.</i> Частотно-ориентационный резонанс сечения экстинкции димера малых сферических частиц с электрическим дипольным рассеянием	251
<i>Барабаненков М. Ю., Итальянцев А. Г.</i> Перераспределение энергии поляризованного электромагнитного импульса между резонансными малыми диэлектрическими рассеивателями с объемной и поверхностной модами и окружающей средой	252
<i>Баранов А. И., Уваров А. В., Максимова А. А., Вячеславова Е. А., Ярчук Э. Я., Гудовских А. С.</i> Исследование пассивирующих свойств слоев оксидов элементов третьей группы, выращенных на развитой поверхности кремния	253
<i>Бекин Н. А., Козлов Д. В.</i> Захват электронов на состояния вакансий ртути в «широкозонных» слоях HgCdTe : многофононный процесс	254
<i>Белов Д. А., Иконников А. В., Хохлов Д. Р., Ушаков Д. В., Афоненко А. А., Мартычев И. Е., Багаев Т. А., Мармалюк А. А., Ладугин М. А., Павлов А. Ю., Галиев Р. Р., Пономарев Д. С., Хабибуллин Р. А.</i> Спектральные характеристики непрерывных терагерцовых квантово-каскадных лазеров, выращенных методом МОС-гидридной эпитаксии	255
<i>Белых Ю. А., Закирова Р. М., Федотова И. В., Сабанова Л. А., Крылов П. Н.</i> Окна прозрачности ИК-диапазона в нанокомпозитных пленках PbS-CdS и PbS-ZnS	256
<i>Бельков В. В., Молдавская М. Д., Голуб Л. Е., Михайлов Н. Н., Дворецкий С. А., Криштопенко С. С., Ганичев С. Д.</i> Магнитофотогальванический эффект в объемных кристаллах CdHgTe	257
<i>Блуменау М. И., Каменская Т. А., Пугачев М. В., Таркаева Е. В., Кунцевич А. Ю.</i> Кинетика фотопроводимости в дихалькогенидах переходных металлов	258
<i>Боев М. В., Снегирев А. В.</i> Долинный эффект Холла в двумерной электрон-экспитонной системе	259
<i>Будкин Г. В., Ивченко Е. Л.</i> Баллистический и сдвиговый вклады в фотогальванический эффект	260
<i>Бурдов В. А., Фомичёв С. А.</i> Однофотонная пороговая генерация биэкспитонов в нанокристаллах	261
<i>Васильев Р. Б., Куртинга Д. А., Скрыпник М. Ю., Лебедев А. И.</i> Хиральность атомарно тонких полупроводников $\text{A}^{\text{II}}\text{B}^{\text{VI}}$: хироптические свойства 2D-экспитонов, индуцированные энантиомерными молекулами	262
<i>Василькова Е. И., Баранцев О. В., Пирогов Е. В., Воропаев К. О., Васильев А. А., Каракинский Л. Я., Новиков И. И., Соболев М. С.</i> Электрические и спектральные характеристики фотодиодов коротковолнового ИК-диапазона 2,0–2,6 мкм на основе гетероструктур $\text{InGa}(\text{Al})\text{As}/\text{InP}$	263
<i>Веретениников А. И., Рахлин М. В., Серов Ю. М., Галимов А. И., Малеев Н. А., Бобров М. А., Сорокин С. В., Торопов А. А.</i> Исследование резонаторных структур с квантовыми точками $\text{InAs}/\text{InGaAs}$ и метаморфным буферным слоем для реализации однофотонного излучения в С-диапазоне	264
<i>Винниченко М. Я., Махов И. С., Адамов Р. Б., Хвостиков В. П., Фирсов Д. А., Шалыгин В. А.</i> Определение температур электронов и дырок при их разогреве электрическим полем в эпиллоях $n\text{-GaAs}$ в условиях межзонного фотовозбуждения	265
<i>Виноградова Л. М., Нежданов А. В., Шестаков Д. В., Скрылев А. А., Ериков А. В., Машин А. И., Крюков Р. Н., De Filippis G., Baratta M.</i> Влияние напыления тонких пленок TiO_2 на фильтрующую способность мембранных из углеродных нанотрубок	266
<i>Власов А. С., Аксенов В. Ю., Анкудинов А. В., Берт Н. А., Казюжный Н. А., Павлов Н. В., Пирогов Е. В., Сазан Р. А., Сошиников И. П., Щенин А. С., Минташров А. М.</i> Сегнетоэлектрические свойства твердых растворов $(\text{Al}, \text{Ga})\text{InP}_2$	267
<i>Волков П. В., Краев С. А., Волынкин Е. А., Лукьянов А. Ю., Горюнов А. В., Вязанкин О. С., Семиков Д. А., Охапкин А. И., Архипова Е. А., Назаров А. А., Аникина Е. О.</i> Исследование механических напряжений в тонких металлических пленках микромеханических чувствительных элементов волоконно-оптических датчиков	268
<i>Волохов И. С., Теленков М. П., Митягин Ю. А.</i> Методика расчета спектров многочастичных комплексов в квантовых проволоках с продольным ограничивающим потенциалом	269